

影像前沿

Willis环 | 最细解剖+最全变异

Willis环的解剖结构及变异：

1664年，Thomas Willis首先提出了“Willis动脉环”的概念。Willis环由下列结构组成：两侧大脑前动脉（ACA）交通前段（A1）、两侧大脑后动脉（PCA）交通前段（P1）、两侧颈内动脉（ICA）末端、前交通动脉（ACoA）后交通动脉（PCoA）两侧ICA在脑底通过ACoA相通，并且借PCoA与椎基底动脉系统相通。

Willis环的结构变异率较高，但评估方法的不同导致结构变异率报道不一。目前仍以DSA为金标准。Willis环的变异包括其组成血管的缺如以及直径的变化，血管直径 $<1\text{ mm}$ 定义为发育不良。最常见的Willis环前循环类型是标准均衡型。最常见的Willis后循环类型是成熟型和双侧PCoA缺如。Willis后循环则主要分为10种类型，即成熟型（PCoA直径 $<\text{P1直径}$ ）、过渡型（PCoA直径 $=\text{P1直径}$ ）、单侧及双侧胚胎型PCA、完全FTP、双侧PCoA缺如及发育不良、单侧PCoA缺如及发育不良，另外还有一种是PCoA与PCA不相通，同时供应PCA交通后段。

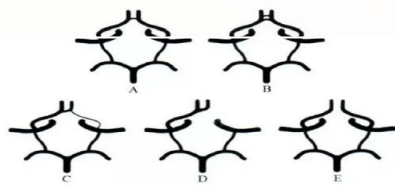
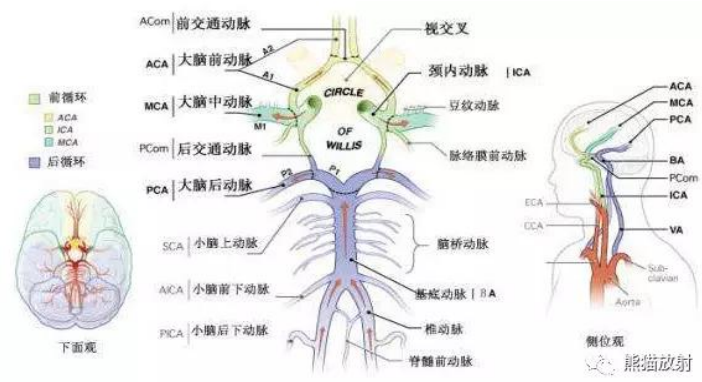


图1 Willis前循环的结构变异分型
A:标准均衡型;B:双前交通动脉;C:A1段发育不良;D:A1段缺如;E:前交通动脉缺如

既往研究显示，仅有27%~45.2%的个体具有完整的Willis环。一项包括1000例患者的尸检研究表明，Willis环结构变异率高达54.8%，其中前循环变异率为23.4%，后循环变异率为31.4%；前循环变异以多支重复为主，后循环变异则主要为发育不良。相对于西方国家人群，中国人群的Willis环结构变异率较高，且后循环变异率远远高于前循环。Li等对中国170名健康成年人进行的一项CTA研究显示，Willis环的结构变异率为73%，其中前循环变异率为21%，后循环变异率为69%。

Willis前循环分为5种类型，即标准均衡型、双ACoA、ACoA缺如、A1发育不良及缺如。



Exac Trac X线图像引导系统在颅内肿瘤无框架SRS中的应用

[摘要] 目的：研究颅内肿瘤无框架立体定向放射外科（stereotactic radiosurgery, SRS）治疗在ExacTrac X线图像引导系统应用下的摆位精度及其影响因素。方法：选取2014年8月至2016年2月119例颅内肿瘤患者，经红外线标记自动摆位后，采用ExacTrac X线图像引导系统拍摄双侧斜位交叉射野照片，并与计划系统数字重建的射野图像进行比对配准修正后得到LAT(X方向)、LNG(Y方向)、VRT(Z方向)3个方向的平移精度误差及相应的旋转精度误差，并对这些数据进行扩展分析。结果：119例患者经ExacTrac X线图像引导系统配合六维床摆位后测得LAT、LNG、VRT3个方向的精度误差绝对值分别为 (0.16 ± 0.13) 、 (0.17 ± 0.14) 、 (0.15 ± 0.11) mm，其对应的3个旋转精度分别为 (0.21 ± 0.15) 、 (0.18 ± 0.15) 、 (0.18 ± 0.14) °，空间矢量误差为 (0.32 ± 0.16) mm。平移精度误差均小于0.5mm，旋精度误差均小于0.5°，均小于SRS治疗精度要求。

结论：应用ExacTrac X线图像引导系统配合六维床修正后可明显提高颅内肿瘤SRS治疗精度，是一种值得推广的新技术。

关键词 颅内肿瘤；图像引导系统；六维运动治疗床；无框架SRS；摆位精度；配准

Application of Exac Trac X-ray image guidance system to frameless stereotactic radiosurgery of intracranial tumor

Abstract Objective: To study the setup accuracy and other factors during frameless stereotactic radiosurgery (SRS) of intracranial tumor using Exac Trac X-ray image guide system. Methods: Totally 119 intracranial tumor patients from August 2014 to February 2016 underwent auto setup with infrared marker. Bilateral oblique cross field images were obtained with Exac Trac X-ray system, and went through comparison, registration and correction with the digitally reconstructed ones of the planning system. Then the translation accuracy errors at LAT, LNG and VRT directions and corresponding rotational accuracy errors were acquired, and the errors experienced extended analysis. Results: The translation errors at LAT, LNG and VRT directions acquired with Exac Trac X-ray image guidance system and 6DOF couch were (0.16 ± 0.13) mm, (0.17 ± 0.14) mm and (0.15 ± 0.11) mm respectively, the corresponding rotational errors were (0.21 ± 0.15) , (0.18 ± 0.15) , (0.18 ± 0.14) ° respectively, and the vector error was (0.32 ± 0.16) mm. All of 3 translation and 3 rotational errors were in the SRS error range. Conclusion: Exac Trac X-ray image guidance system combined with 6 degrees-of-freedom couch increases the treatment accuracy during frameless SRS, and thus is worthy promoting practically.

Key words: intracranial tumor; image guidance system; 6 degrees -of -freedom (6DOF) couch; frameless SRS; setup accuracy; registration